

МИНИСТЕРСТВО НАУКИ И ВЫСШЕГО ОБРАЗОВАНИЯ РОССИЙСКОЙ  
ФЕДЕРАЦИИ

Федеральное государственное автономное образовательное учреждение высшего  
образования  
«Национальный исследовательский Нижегородский государственный университет им. Н.И.  
Лобачевского»

Радиофизический факультет

**Отчет по лабораторной работе**  
**"Некоторые законы случайных событий"**

**Отчет по (учебной) практике**

Студентов группы 0424С1ИБГ1

1 курса специалитета

Скороходов С.А., Степушов Г.С.

Основная образовательная программа

подготовки по направлению

10.05.02 «Информационная безопасность

телекоммуникационных систем»

(направленность «Системы подвижной цифровой  
защищенной связи»)

Нижний Новгород, 2025

# Содержание

<b>1</b>	<b>Введение</b>	<b>3</b>
1.1	Цель . . . . .	3
1.2	Задачи . . . . .	3
1.3	Приборы и оборудование . . . . .	3
<b>2</b>	<b>Теоретическая часть</b>	<b>4</b>
2.1	Случайные события и случайная величина . . . . .	4
2.1.1	Свойство статистической устойчивости. Относительная частота и вероятность события . . . . .	4
2.1.2	Дискретные и непрерывные случайные величины . . . . .	4
2.2	Закон распределения случайной величины . . . . .	5
2.2.1	Закон распределения дискретной случайной величины . . . . .	5
2.2.2	Интегральная и дифференциальная функции распределения . . . . .	5
2.2.3	Среднее значение и дисперсия . . . . .	6
2.3	Закон распределения для доски Гальтона . . . . .	8
<b>3</b>	<b>Практическая часть</b>	<b>9</b>
3.1	Опыт с доской Гальтона . . . . .	9
3.1.1	Опыт с $N = 10$ зёрен . . . . .	9
3.1.2	Опыт с $N = N_0/2$ зёрен . . . . .	9
3.1.3	Опыт с $N = N_0$ зёрен . . . . .	9
3.1.4	Обработка полученных данных . . . . .	9
3.1.5	Сравнение флуктуаций в средней ячейке . . . . .	10
3.1.6	Сравнение флуктуаций в средней и крайней ячейках . . . . .	10
3.1.7	Сравнение стандартов . . . . .	10
3.1.8	Вывод по эксперименту с доской Гальтона . . . . .	11
3.2	Опыт с резисторами . . . . .	11
3.2.1	Обработка полученных результатов . . . . .	11
3.3	Оценка погрешностей опыта с резисторами . . . . .	12
3.3.1	Стандарт $\sigma$ . . . . .	12
3.3.2	Номинальное значение . . . . .	12
<b>4</b>	<b>Вывод</b>	<b>13</b>
<b>5</b>	<b>Приложение</b>	<b>14</b>
5.1	Приложение к теории . . . . .	14
5.2	Приложение к практической части . . . . .	14
5.2.1	Таблицы . . . . .	14
5.2.2	Графики . . . . .	18

# 1 Введение

## 1.1 Цель

Изучить некоторые законы случайных событий, рассмотреть примеры дискретной и непрерывной величин.

## 1.2 Задачи

1. Провести эксперимент с доской Гальтона.
2. Сравнить полученные результаты с теорией для распределения случайной дискретной величины.
3. Провести эксперимент с измерением 100 резисторов.
4. Сравнить полученные результаты с теорией для распределения случайной непрерывной величины.

## 1.3 Приборы и оборудование

Доска Гальтона, воронка, линейка, частицы - пшено, вольтметр В7-27,  $\Delta R = 1$  Ом, резисторы  $R = 510 \text{ Ом} \pm 10\%$ ,  $\Delta h = 0,1 \text{ мм}$

## 2 Теоретическая часть

### 2.1 Случайные события и случайная величина

*Статистическое испытание* - это наблюдение, производимое при неизменном комплексе контролируемых условий.

Всякий исход испытания называется *случайным событием*.

В нашем опыте случайным событием является попадание зернышка в какую-либо из ячеек.

Случайные события принято описывать количественно с помощью случайных величин. Например, номер ячейки  $n$ , в которую попало зернышко, время падения в ячейку или пройденный до ячейки путь - это случайные величины, относящиеся к рассматриваемому случайному событию.

#### 2.1.1 Свойство статистической устойчивости. Относительная частота и вероятность события

Ключевое понятие вероятности случайного события опирается на свойство *статистической устойчивости*, которое поясним на примере.

Пусть зёрнышко брошено на доску Гальтона  $N$  раз. Обозначим  $N_k$  число испытаний, в которых зерно попало в ячейку с заданным номером  $k$  (или же один раз брошено  $N$  одинаковых зёрен, тогда  $N_k$  - число зёрен в  $k$ -й ячейке). Отношение  $P^*(k, N) = \frac{N_k}{N}$  называется *относительной частотой* события, заключающегося в попадании зерна в ячейку с номером  $k$  в серии из  $N$  испытаний. По-другому можно сказать, что это относительная частота того, что случайный номер ячейки  $n$  примет значение  $k$ .

Относительная частота - случайная величина. Но если провести  $N$  одинаковых испытаний, то окажется, что чем больше  $N$ , тем меньше относительная частота зависит от  $N$ . Это свойство называется статистической устойчивостью относительной частоты появления случайного события. Именно статистическая устойчивость позволяет построить для случайных явлений и величин теорию, предсказывающую результаты многократно воспроизводимых (при одинаковых условиях) испытаний. Статистическая устойчивость - частный случай появления основного статистического закона, который называется законом больших чисел.

На математическом языке тот факт, что с увеличением  $N$  относительная частота становится всё менее случайной, записывается в виде

$$\lim_{N \rightarrow \infty} P^*(k, N) = \lim_{N \rightarrow \infty} \frac{N_k}{N} = P(k) \quad (1)$$

Детерминированную величину  $P(k)$  называют вероятностью случайного события. В данном случае событие состоит в попадании зерна в  $k$ -ю ячейку, в то же время можно сказать, что  $P(k)$  есть вероятность того, что случайная величина  $n$  равна  $k$ .

#### 2.1.2 Дискретные и непрерывные случайные величины

Случайную величину  $X$ , которая может принимать ограниченное или счётное число значений  $\{x_1, x_2, \dots, x_n, \dots\}$ , называют *дискретной*. В нашем случае дискретной величиной является номер ячейки. Величины, принимающие непрерывный ряд значений (например, время падения зерна в ячейку), называют *непрерывными* случайными величинами.

## 2.2 Закон распределения случайной величины

### 2.2.1 Закон распределения дискретной случайной величины

Все свойства дискретной случайной величины определяются вероятностью возможных значений:

$$P(k_1) = p_1, P(k_2) = p_2, \dots, P(k_n) = p_n, \dots$$

Если набор значений невелик, то составляют таблицу, первая строка которой включает все значения случайной величины, а вторая - их вероятности. При этом говорят, что задан *закон распределения* случайной дискретной величины. Тот же закон можно представить графически, откладывая по оси абсцисс значения, которые принимает случайная величина, а на оси ординат - их вероятности.

### 2.2.2 Интегральная и дифференциальная функции распределения

Запись распределения случайных величин в виде таблицы неудобна в аналитических расчётах. Удобнее использовать *функцию распределения*. По определению *интегральная функция распределения*

$$F(x) = P(X < x) \quad (2)$$

равна вероятности того, что случайная величина  $X$  принимает значение, меньшее наперёд заданного  $x$ . Интегральная функция распределения обладает следующими свойствами:

1.  $F(x)$  - неубывающая функция  $x$ , определённая на всей оси  $x \in (-\infty, \infty)$  и принимающая значения в интервале  $[0, 1]$ .
2. Наименьшее значение функции  $F(x)$  достигается при  $x = -\infty$ , а наибольшее - при  $x = \infty$ .

$$F(-\infty) = 0, \quad F(\infty) = 1. \quad (3)$$

Применительно к дискретной случайной величине  $F(x)$  представляет собой кусочно-постоянную функцию, терпящую скачки в точках разрешённых значений  $x_k$  случайной величины  $X$ :

$$F(x) = \sum_k p_k \chi(x - x_k). \quad (4)$$

В записи (4) использована  $\chi$  - единичная функция

$$\chi(x) = \begin{cases} 0, & x \leq 0 \\ 1, & x > 0 \end{cases} \quad (5)$$

так что величина скачка равна вероятности  $p_k$ .

Интегральная функция распределения непрерывной случайной величины является гладкой монотонно возрастающей.

Наряду с интегральной функцией распределения часто используют и *дифференциальную функцию распределения*, или *плотность вероятностей*, по определению равную

$$W(x) = \frac{dF}{dx} \quad (6)$$

Если интервал  $\Delta x$  достаточно мал, то из (6) и (2) следует, что величина  $W(x)\Delta x$  будет приближённо равна вероятности попадания случайной величины  $X$  в интервал значений  $\Delta x$ . Поэтому с помощью плотности вероятностей можно найти вероятность попадания случайной величины  $X$  в любой наперёд заданный интервал  $[a, b]$ :

$$P(a \leq X < b) = \int_a^b W(x)dx \quad (7)$$

В частности, отсюда следует явное выражение для интегральной функции распределения через плотность вероятностей

$$F(x) = P(X < x) = \int_{-\infty}^x W(x)dx \quad (8)$$

Перечислим общие свойства плотности вероятностей:

1. Из (6) и (2) видно, что плотность вероятностей имеет размерность, обратную размерности случайной величины  $X$ .
2. Плотность вероятностей неотрицательна:

$$W(x) \geq 0. \quad (9)$$

3. Для плотности вероятностей выполнено *условие нормировки*, которое получим, устремив в (8)  $x$  к бесконечности:

$$\int_{-\infty}^{\infty} W(z)dz = 1 \quad (10)$$

### 2.2.3 Среднее значение и дисперсия

Пусть дискретная случайная величина  $X$  в  $N$  независимых испытаниях принимает значения  $x_1, x_2, \dots, x_N$ . Тогда среднее значение (его будем обозначать чертой сверху) равно

$$\bar{X} = \frac{1}{N} \sum_{i=1}^N X_i. \quad (11)$$

Здесь  $X_i$  - исход  $i$ -го испытания. Вычислим предел среднего арифметического при безграничном увеличении  $N$ . Для этого перегруппируем слагаемые считая, что значения  $x_k$  выпадают  $N_k$  раз. Тогда

$$\bar{X} = \sum_k x_k \frac{N_k}{N}. \quad (12)$$

При большом  $N$  каждая дробь под знаком суммы даёт вероятность  $p_k$ , в итоге

$$\bar{X} = \sum_k x_k p_k \quad (12a)$$

Равенство (12a) является определением среднего значения дискретной случайной величины. Его ещё называют *математическое ожидание* и обозначают  $E_x$ . Математическое ожидание (среднее значение) непрерывной случайной величины вычисляется с помощью плотности вероятностей:

$$\bar{X} = \int_{-\infty}^{\infty} (xW(x)dx) \quad (12b)$$

Ещё более информативной, чем математическое ожидание является *дисперсия* случайной величины  $D_x$ , по определению равная:

$$D_x = \overline{(X - \bar{X})^2} \quad (13)$$

Из определения среднего значения следует, что дисперсия дискретной случайной величины вычисляется по формуле:

$$D_x = \sum_k (x_k - \bar{X})^2 p_k = \sum_k x_k^2 p_k - \bar{X}^2, \quad (13a)$$

а непрерывной - по формуле

$$D_x = \int_{-\infty}^{\infty} (x - \bar{X})^2 W(x)dx = \int_{-\infty}^{\infty} x^2 W(x)dx - \bar{X}^2 \quad (13b)$$

По смыслу математическое ожидание есть постоянная составляющая случайной величины  $X$ , а дисперсия служит количественной мерой случайности - разброса  $X$  вокруг среднего. В частности, детерминированная величина совпадает со своим средним, а её дисперсия равна нулю.

В инженерных приложениях, где приходится иметь дело с размерными величинами, удобнее использовать не дисперсию, а *среднеквадратичное отклонение* случайной величины от среднего:

$$\sigma_x = \sqrt{D_x} \quad (14)$$

По-другому эту величину называют *стандартным отклонением* ли просто *стандартом* случайной величины  $X$ .

Случайные отклонения величины от среднего значения называются *флуктуациями*. Наиболее показательной характеристикой таких отклонения является *относительная флуктуация*, по определению равная

$$\eta = \frac{\sigma_x}{\bar{X}} \quad (15)$$

Пусть некоторый опыт повторяется независимо  $N$  раз, а вероятность наступления события  $A$  не зависит от номера опыта и равна  $p$  (например, в опытах с доской Гальтона событие  $A$  состоит в том, что зёрнышко попадает в ячейку с заранее заданным номером). Если  $X$  - число наступлений события  $A$  в серии из  $N$  опытов, то можно показать:

$$\bar{X} = Np, \quad \sigma_x = \sqrt{Np(1-p)}, \quad \eta = \sqrt{\frac{1-p}{Np}} \quad (16)$$

## 2.3 Закон распределения для доски Гальтона

В опытах с доской Гальтона при большом числе частиц вероятность  $P(k)$  пропорциональна высоте столбика в ячейке  $k$ . Колоколообразная кривая, которую можно провести через точки на графике, будет иметь ту же форму, что и холмик, образованный зёрнами ячейках. Эту кривую называют *кривой вероятностей*.

Обозначим  $\bar{k}$  номер средней ячейки, над которой находится воронка. Средняя ячейка доски Гальтона оказывается наиболее вероятной: вероятность  $P(\bar{k})$  попадания в неё максимальна. Оказывается, при достаточно большом числе ячеек вероятность  $P(k)$  приближённо выражается формулой

$$P(k) = P(\bar{k}) \exp \left( -\frac{(k - \bar{k})^2}{2\sigma_x^2} \right) \quad (17)$$

Чтобы выяснить влияние  $\sigma_x$  на вид распределения, положим в формуле (17) значения  $k$  равными  $k_1 = \bar{k} + \sigma_k$  и  $k_2 = \bar{k} - \sigma_k$ . Формула (17) даёт тогда

$$P(k_1) = P(k_2) = \frac{P(\bar{k})}{\sqrt{e}}$$

Это значит, что  $2\sigma_k = k_2 - k_1$  равняется ширине кривой вероятностей, измеренной на уровне  $P(\bar{k})/\sqrt{e}$ , т.е. стандарт характеризует величину случайных отклонений от среднего значения.

Установим значение  $P(\bar{k})$ . Для этого учтём, что в любом испытании случайный номер ячейки  $n$  обязательно примет какое-либо (и только одно) значение  $n = k$ . Поэтому объединение всех событий, состоящих в попадании зерна в ячейку, есть достоверное событие. Вероятность достоверного события равна единице, а значит, суммарная вероятность всех возможных значений подчиняется условию нормировки

$$\sum_k p_k = 1 \quad (18)$$

Для формулы (17) условие (18), если (см. пункт 5.1 Приложение к теории)

$$P(\bar{k}) = \frac{1}{\sqrt{2\pi}\sigma_k} \quad (19)$$

Таким образом, стандарт  $\sigma_k$  характеризует не только ширину, но и высоту холмика, описываемого формулой (17).

Если в качестве случайной величины рассматривать не номер ячейки, а координату  $x$ , то дифференциальная функция распределения будет иметь вид

$$W(x) = \frac{1}{\sqrt{2\pi}\sigma} \exp \left( -\frac{(x - \bar{x})^2}{2\sigma^2} \right), \quad (20)$$

где  $\bar{x}$  - координата средней ячейки,  $\sigma = \sigma_k l$ ,  $l$  - ширина ячейки. Функция (20) описывает нормальный закон распределения, или закон Гаусса.

Полная площадь под графиком  $W(x)$  численно равна вероятности появления какого-нибудь значения  $x$ . и как вероятность достоверного события, она равна единице.



## 3 Практическая часть

### 3.1 Опыт с доской Гальтона

Обозначим за  $N_0$  - количество пшена в полном стакане, а  $N$  - количества пшена в эксперименте. В опыте с  $N = N_0/2$  и  $N = N_0$ , для удобства, будем измерять не количество пшена в ячейке, а высоту столбца в миллиметрах.

#### 3.1.1 Опыт с $N = 10$ зёрен

Проведём эксперимент с доской Гальтона, используя  $N = 10$  зёрен. Медленно сыпем пшено, и записываем сколько штук попало в каждую ячейку. Полученные данные представлены в виде таблицы (см. пункт 5.2.1, Таблица 1)

#### 3.1.2 Опыт с $N = N_0/2$ зёрен

Проведём эксперимент с доской Гальтона, используя  $N = N_0/2$  зёрен. Медленно сыпем пшено, и записываем сколько мм зёрен попало в каждую ячейку, внесём полученные данные в таблицу (см. пункт 5.2.1, Таблица 1)

#### 3.1.3 Опыт с $N = N_0$ зёрен

Проведём эксперимент с доской Гальтона, используя  $N = N_0$  зёрен. Медленно сыпем пшено, и записываем сколько мм зёрен попало в каждую ячейку, внесём полученные данные в таблицу (см. пункт 5.2.1, Таблица 1)

#### 3.1.4 Обработка полученных данных

Погрешность прямого измерения  $\Delta h = \pm 1$  мм, после деления на сумму высот столбцов, которая равна 1444,2 мм, мы получим погрешность вероятности  $\approx 0,0007$  мм, этой величиной можно пренебречь.

Для удобства работы с данными, представим результаты экспериментов в графическом виде (см. рис. 1 и рис. 2). Так как в данном случае номер ячейки дискретная величина, то для поиска теоретической вероятности будем использовать закон для распределения случайной дискретной величины, в случае доски Гальтона он имеет вид (17).

Для построения теоретической функции, найдём максимальную вероятность в эксперименте. Для доски Гальтона она равна  $P(\bar{k})$  (вероятности попадания в среднюю точку). В нашем эксперименте  $P(\bar{k})_{N_0/2} = 0,0527 \frac{1}{\text{мм}}$  и  $P(\bar{k})_{N_0} = 0,0528 \frac{1}{\text{мм}}$ . Дальше найдём  $\sigma_k$ , выразив её из формулы (19). Получим:

$$\sigma_k = \frac{1}{\sqrt{2\pi P(\bar{k})}} \quad (21)$$

Найдём по формуле (21)  $\sigma_{kN_0/2}$  и  $\sigma_{kN_0}$

$$\sigma_{kN_0/2} = \frac{1}{\sqrt{2\pi P(\bar{k})}} = \frac{1}{\sqrt{2\pi} \times 0,0527 \frac{1}{\text{мм}}} \approx 7,570 \text{ мм}$$

$$\sigma_{kN_0} = \frac{1}{\sqrt{2\pi}P(\bar{k})} = \frac{1}{\sqrt{2\pi} \times 0,0527 \frac{1}{\text{мм}}} \approx 7,570 \text{ мм}$$

Так как в нашей установке 54 столбца, пронумерованные от 1 до 54, то за среднюю ячейку с самой большой вероятностью примем точку  $k = 27.5$

С помощью программы на языке программирования *Python* найдём теоретическую кривую вероятности по формуле (19), на графиках (см. рис. 1 и рис. 2) отметим её серым пунктиром и аппроксимируем практические данные полиномом 10-ой степени и отменим его серым пунктиром на графике (см. рис. 1 и рис. 2).

### 3.1.5 Сравнение флуктуаций в средней ячейке

1. Для  $N = N_0/2$  максимальная вероятность  $P(k) \approx 0,053 \frac{1}{\text{мм}}$  соответствует  $\bar{k} = 28$ , найдём относительную флуктуацию  $\eta = \sqrt{\frac{1-p}{Np}} = \sqrt{\frac{1-0,053}{1445,2 \cdot 0,053}} \approx 0,111 \text{ мм}$
2. Для  $N = N_0$  максимальная вероятность  $P(k) \approx 0,053 \frac{1}{\text{мм}}$  соответствует  $\bar{k} = 28$ , найдём относительную флуктуацию  $\eta = \sqrt{\frac{1-p}{Np}} = \sqrt{\frac{1-0,051}{1445,2 \cdot 0,051}} \approx 0,096 \text{ мм}$

Найдём отношение флуктуаций

$$\frac{\eta_{N_0/2}}{\eta_{N_0}} \approx \frac{0,11}{0,096} \approx 1,146$$

Следовательно при увеличении количества испытаний флуктуация уменьшится.

### 3.1.6 Сравнение флуктуаций в средней и крайней ячейках

Из предыдущего пункта возьмём флуктуацию для  $N = N_0/2 = 1445,2 \text{ мм}$ ,  $\eta \approx 0,270 \text{ мм}$ .

Рассчитаем флуктуацию для ячейки  $k = 6$ , для неё  $p = P(6) \approx 0,0014$  для нахождения  $\eta_{k=6}$  воспользуемся формулой (16):

$$\eta_{k=6} = \sqrt{\frac{1-p}{Np}} = \sqrt{\frac{1-0,0014}{1445,5 \cdot 0,0014}} \approx 0,710$$

Сравним флуктуации в выбранных точках:

$$\frac{\eta_{k=6}}{\eta_{\bar{k}}} = \frac{0,71}{0,11} \approx 6,45$$

Следовательно, флуктуация в крайней ячейке в 6,45 раз больше, чем флуктуация в средней ячейке.

### 3.1.7 Сравнение стандартов

Из пункта 3.1.4 мы получили  $\sigma_{kN_0/2} \approx 7,570 \text{ мм}$  и  $\sigma_{kN_0} \approx 7,57 \text{ мм}$ . Найдём значение стандарта графически, как полуширину экспериментальной кривой:

1. Для  $N = N_0/2$  (см. пункт 5.2.2, рис. 1):  $\sigma_{\text{экс}} \approx 7,55 \text{ мм}$ .
2. Для  $N = N_0$  (см. пункт 5.2.2, рис. 2):  $\sigma_{\text{экс}} \approx 7,55 \text{ мм}$

С учётом погрешности прямого измерения в 0,5 мм, теоретический и экспериментальный стандарты совпадают. Следовательно выполняется закон Гаусса.

### 3.1.8 Вывод по эксперименту с доской Гальтона

По эксперименту с  $N = 10$ , мы не можем выделить закономерности попадания пшена в ячейки, следовательно выборка слишком мала.

Сравнение графиков (см. пункт 5.2.2, рис. 1 и рис. 2) показывает, что выборка  $N = N_0/2$  примерно равна выборке  $N = N_0$ , и они совпадают с математической функцией распределения. Следовательно выборка  $N = N_0/2$  является достаточной для оценки плотности вероятности. Сравнив теоретический и экспериментальный стандарты  $\sigma_k$ , мы показали, что выполняется закон Гаусса.

## 3.2 Опыт с резисторами

Обозначим за  $N$  количество резисторов. Для эксперимента измерим сопротивление  $N = 100$  резисторов сопротивлением  $R = 510 \text{ Ом} \pm 10\%$ .

### 3.2.1 Обработка полученных результатов

Полученные данные внесём в таблицу (см. пункт 5.2.1, Таблица 2). Для удобства работы с данными и построения графиков представим данные в виде (см. пункт 5.2.1, Таблица 3).

Построим функцию  $F(r)$  - приближённое представление интегральной функции распределения, с помощью приблизительного представления (см. пункт 5.2.2, рис. 3)

$$F(r) = P(R < r) \approx \frac{N'}{N}, \quad (22)$$

где  $N'$  - число значений  $R$ , которые меньше  $r$ .

Для удобства аппроксимируем полученные данные с помощью сигмной

$$y = \frac{a}{1 + \exp(-k(x - x_0))} + c$$

С коэффициентами  $a = 1, k = 0.23, x_0 = 511, c = 0$

Путем графического дифференцирования аппроксимации дискретной функции  $F(r)$  построим плотность вероятностей  $W(r)$  (см. пункт 5.2.2, рис. 4). На том же графике построим нормальное распределение

$$W_T(r) = \frac{1}{\sqrt{2\pi}\sigma} \exp\left(-\frac{(r - \bar{R})^2}{2\sigma^2}\right) \quad (23)$$

Где в качестве  $\bar{R}$  мы возьмём наиболее вероятное значение  $r$ . Из наших данных это будет  $\bar{R} = 511,2 \text{ Ом}$ , с вероятностью  $P(511,2) = 0,057 \frac{1}{\text{Ом}}$ . За  $\sigma$  мы возьмём полуширину экспериментальной кривой  $W(r)$  на уровне

$$P(x) = \frac{W(\bar{R})}{\sqrt{e}} = \frac{0,057}{\sqrt{e}} \approx 0,021 \frac{1}{\text{Ом}}$$

Найдём эту полуширину графически с помощью вспомогательных линий (см. пункт 5.2.2, рис. 4). Получаем значение  $\sigma = 6,37 \text{ Ом}$ . Построим итоговый график  $W_T(r)$  (см. пункт 5.2.2, рис. 4).

### 3.3 Оценка погрешностей опыта с резисторами

Погрешность прямого измерения  $\Delta R = \pm 1$  Ом.

#### 3.3.1 Стандарт $\sigma$

Сравним стандарт  $\sigma$  с погрешностью мостика Уитстона, использованного для измерений.

Найдём стандарт для нашего измерения по формуле (13), получим  $D_k \approx 95,2$  мм, а

$$\sigma_{\text{моста}} = \sqrt{D_k} \approx 9,76 \text{ мм}$$

Найдём отношение  $\sigma$  и  $\sigma_{\text{моста}}$ :

$$\frac{\sigma_{\text{моста}}}{\sigma} = \frac{9,76}{6,37} \approx 1,53$$

Следовательно оценка с помощью  $\sigma$ , найденного графическим способом точнее, чем стандарт прямого измерения.

#### 3.3.2 Номинальное значение

Сравним  $\bar{R} = 511,2$  Ом с номинальным значением сопротивления  $R_0 = 510$  Ом, в нашем случае они равны

$$\bar{R} - R_0 = 511,2 - 510 \text{ Ом} = 1,2 \text{ Ом} > \Delta R$$

Следовательно, смещение среднего значения больше погрешности, но оно укладывается в погрешность изготовления.

Следовательно, систематическая погрешность  $1 - R_0/\bar{R} = 1 - \frac{510}{511,2} \approx 0,002$ .

А случайная погрешность  $\sigma/\bar{R} = \frac{6,37 \text{ Ом}}{511,2 \text{ Ом}} \approx 0,012$

Сравним случайную и систематическую погрешности с погрешность изготовления, указанной на резисторах. Она больше:  $10\% = 0,1 > 0,012 > 0,002$ . Следовательно эти погрешности не выходят из диапазона допустимых значений сопротивления резисторов.

## 4 Вывод

Мы провели эксперимент с доской Гальтона, на практике построили графики экспериментальной и теоретической плотностей вероятностей. С помощью сравнения стандартов показали, что в данном случае работает закон Гаусса. Следовательно мы проверили закон Гаусса для дискретной величины.

Мы провели эксперимент с измерением сопротивления резисторов, построили графики интегральной функции распределения, плотности вероятностей. Графически нашли значение стандарта измерения. Мы рассмотрели сопротивление резисторов как непрерывную функцию, т.к. оно может принимать любые промежуточные значения.

## 5 Приложение

### 5.1 Приложение к теории

Найдём  $P(\bar{k})$  из условия нормировки. При большом числе зёрен можно упростить вычисление суммы (18), если характеризовать положение зёрен на доске Гальтона не дискретным номером ячейки, а непрерывной координатой  $x$ , отложенной вдоль доски. Обозначим ширину ячейки  $l$ , положим координату  $x$  равной  $x = (k - \bar{k})l$ .

Введём плотность вероятностей  $W(x)$  случайной координаты зерна при падении на доску. Если рассматривать интервалы  $dx$ , много меньшие ширины ячейки, то из связи интегральной и дифференциальной функция распределения следует, что  $W(x)dx$  будет практически совпадать с вероятностью того, что зерно окажется в интервале  $(x, x + dx)$ . Отсюда с учётом формулы (17) следует

$$W(x) = \frac{P(\bar{k})}{l} \exp\left(-\frac{x^2}{2\sigma_k^2 l^2}\right) \quad (24)$$

Обозначая  $-x_0, x_0$  координаты крайних точек доски, получим, что условие нормировки имеет вид

$$\int_{-x_0}^{x_0} \frac{P(\bar{k})}{l} \exp\left(-\frac{x^2}{2\sigma_k^2 l^2}\right) dx = 1 \quad (25)$$

Воспользуемся тем, что, как видно из эксперимента, при достаточно большом количестве ячеек в крайние из них попадает лишь незначительное число зёрен. На математическом языке этот факт означает, что характерный масштаб спада плотности вероятностей (24) много меньше, чем  $x_0$ . Это позволяет заменить пределы интегрирования в (25) на бесконечные, в результате интеграл легко вычисляется по таблицам:

$$P(\bar{k})\sqrt{2\pi}\sigma_k = 1 \quad (26)$$

Из последнего равенства и следует (19).

### 5.2 Приложение к практической части

#### 5.2.1 Таблицы

Таблица 1: Экспериментальные данные опыта с доской Гальтона

	$N = 10$			$N = N_0/2$			$N = N_0$			<b>Среднее</b>	
<b>№</b>	<b>1</b>	<b>2</b>	<b>3</b>	<b>1</b>	<b>2</b>	<b>3</b>	<b>1</b>	<b>2</b>	<b>3</b>	$N = N_0/2$	$N = N_0$
1	0	0	0	0	0	0	0	0	0	0,0	0,0
2	0	0	0	0	0	0	0	0	0	0,0	0,0
3	0	0	0	0	0	0	0	0	0	0,0	0,0
4	0	0	0	0	0	0	0	0	0	0,0	0,0
5	0	0	0	0	0	0	0	0	0	0,0	0,0
6	0	0	0	0	1	0	2	2	2	1,2	2,0
Продолжение на следующей странице											

Таблица 1 – продолжение с предыдущей страницы

	$N = 10$			$N = N_0/2$			$N = N_0$			<b>Среднее</b>	
<b>№</b>	<b>1</b>	<b>2</b>	<b>3</b>	<b>1</b>	<b>2</b>	<b>3</b>	<b>1</b>	<b>2</b>	<b>3</b>	$N = N_0/2$	$N = N_0$
7	0	0	0	0	1	0	3	3	4	1,8	3,3
8	0	0	0	4	2	3	4	5	4	3,7	4,3
9	0	0	0	5	3	4	7	7	5	5,2	6,3
10	0	0	0	5	4	4	9	8	7	6,2	8,0
11	1	0	0	8	7	5	12	11	10	8,8	11,0
12	0	0	0	7	8	8	17	14	13	11,2	14,7
13	0	0	0	10	9	10	19	18	16	13,7	17,7
14	0	0	0	11	12	10	22	21	20	16,0	21,0
15	0	0	0	15	15	15	25	28	28	21,0	27,0
16	0	0	0	17	17	16	35	34	30	24,8	33,0
17	0	0	0	20	22	20	44	44	39	31,5	42,3
18	0	0	0	19	23	24	47	50	44	34,5	47,0
19	0	0	0	25	27	25	54	57	51	39,8	54,0
20	0	0	1	33	31	33	66	62	65	48,3	64,3
21	1	0	0	35	34	35	69	78	70	53,5	72,3
22	0	1	1	35	35	37	75	71	68	53,5	71,3
23	0	4	0	40	42	40	84	84	85	62,5	84,3
24	1	2	0	41	46	41	88	93	88	66,2	89,7
25	1	0	0	47	48	45	98	99	100	72,8	99,0
26	0	0	1	42	45	47	96	94	96	70,0	95,3
27	1	0	0	48	46	50	98	98	97	72,8	97,7
28	0	0	2	50	50	48	103	104	102	76,2	103,0
29	1	1	0	52	50	50	100	98	98	74,7	98,7
30	0	0	0	45	48	46	95	96	95	70,8	95,3
31	0	0	1	43	45	43	91	90	91	67,2	90,7
32	2	0	0	40	46	40	89	85	87	64,5	87,0
33	0	1	1	35	36	37	76	79	79	57,0	78,0
34	0	0	0	39	35	35	75	75	75	55,7	75,0
35	1	0	0	25	30	29	60	63	65	45,3	62,7
36	0	0	1	27	25	27	58	55	55	41,2	56,0
37	1	1	1	25	23	25	50	49	50	37,0	49,7
38	0	0	1	20	17	20	40	35	38	28,3	37,7
39	0	0	0	15	14	15	33	29	35	23,5	32,3
40	0	0	0	15	13	18	29	28	30	22,2	29,0
41	0	0	0	10	12	10	22	23	22	16,5	22,3
42	0	0	0	8	7	7	18	17	18	12,5	17,7
43	0	0	0	7	6	6	15	15	17	11,0	15,7
44	0	0	0	5	5	5	10	9	10	7,3	9,7
45	0	0	0	4	3	3	8	8	10	6,0	8,7
46	0	0	0	3	4	3	5	6	5	4,3	5,3
47	0	0	0	0	0	0	4	4	3	1,8	3,7
Продолжение на следующей странице											

Таблица 1 – продолжение с предыдущей страницы

	$N = 10$			$N = N_0/2$			$N = N_0$			<b>Среднее</b>	
<b>№</b>	<b>1</b>	<b>2</b>	<b>3</b>	<b>1</b>	<b>2</b>	<b>3</b>	<b>1</b>	<b>2</b>	<b>3</b>	$N = N_0/2$	$N = N_0$
48	0	0	0	0	0	0	4	3	2	1,5	3,0
49	0	0	0	0	0	0	2	3	2	1,2	2,3
50	0	0	0	0	0	0	1	2	0	0,5	1,0
51	0	0	0	0	0	0	0	0	0	0,0	0,0
52	0	0	0	0	0	0	0	0	0	0,0	0,0
53	0	0	0	0	0	0	0	0	0	0,0	0,0
54	0	0	0	0	0	0	0	0	0	0,0	0,0

Таблица 2: Экспериментальные данные опыта с измерением сопротивления (общий вид)

<b>№</b>	<b>R, Ом</b>	<b>№</b>	<b>R, Ом</b>	<b>№</b>	<b>R, Ом</b>	<b>№</b>	<b>R, Ом</b>
1	475	26	508	51	511	76	515
2	485	27	508	52	511	77	516
3	488	28	508	53	511	78	516
4	496	29	508	54	512	79	516
5	496	30	509	55	512	80	516
6	497	31	509	56	512	81	516
7	498	32	509	57	512	82	516
8	499	33	509	58	512	83	518
9	499	34	509	59	513	84	518
10	501	35	509	60	513	85	519
11	501	36	509	61	513	86	519
12	502	37	509	62	513	87	519
13	502	38	509	63	513	88	519
14	504	39	510	64	513	89	520
15	505	40	510	65	513	90	521
16	505	41	510	66	513	91	521
17	506	42	510	67	514	92	521
18	506	43	510	68	514	93	524
19	507	44	510	69	514	94	524
20	507	45	510	70	514	95	527
21	507	46	510	71	514	96	528
22	507	47	510	72	514	97	529
23	507	48	510	73	515	98	539
24	507	49	510	74	515	99	543
25	508	50	511	75	515	100	545



Таблица 3: Экспериментальные данные опыта с измерением сопротивления (Обработанные)

№	R, Ом	Количество	№	R, Ом	Количество
1	475	1	18	512	5
2	485	1	19	513	8
3	488	1	20	514	6
4	496	2	21	515	4
5	497	1	22	516	6
6	498	1	23	518	2
7	499	2	24	519	4
8	501	2	25	520	1
9	502	2	26	521	3
10	504	1	27	524	2
11	505	2	28	527	1
12	506	2	29	528	1
13	507	6	30	529	1
14	508	5	31	539	1
15	509	9	32	543	1
16	510	11	33	545	1
17	511	4			

## 5.2.2 Графики

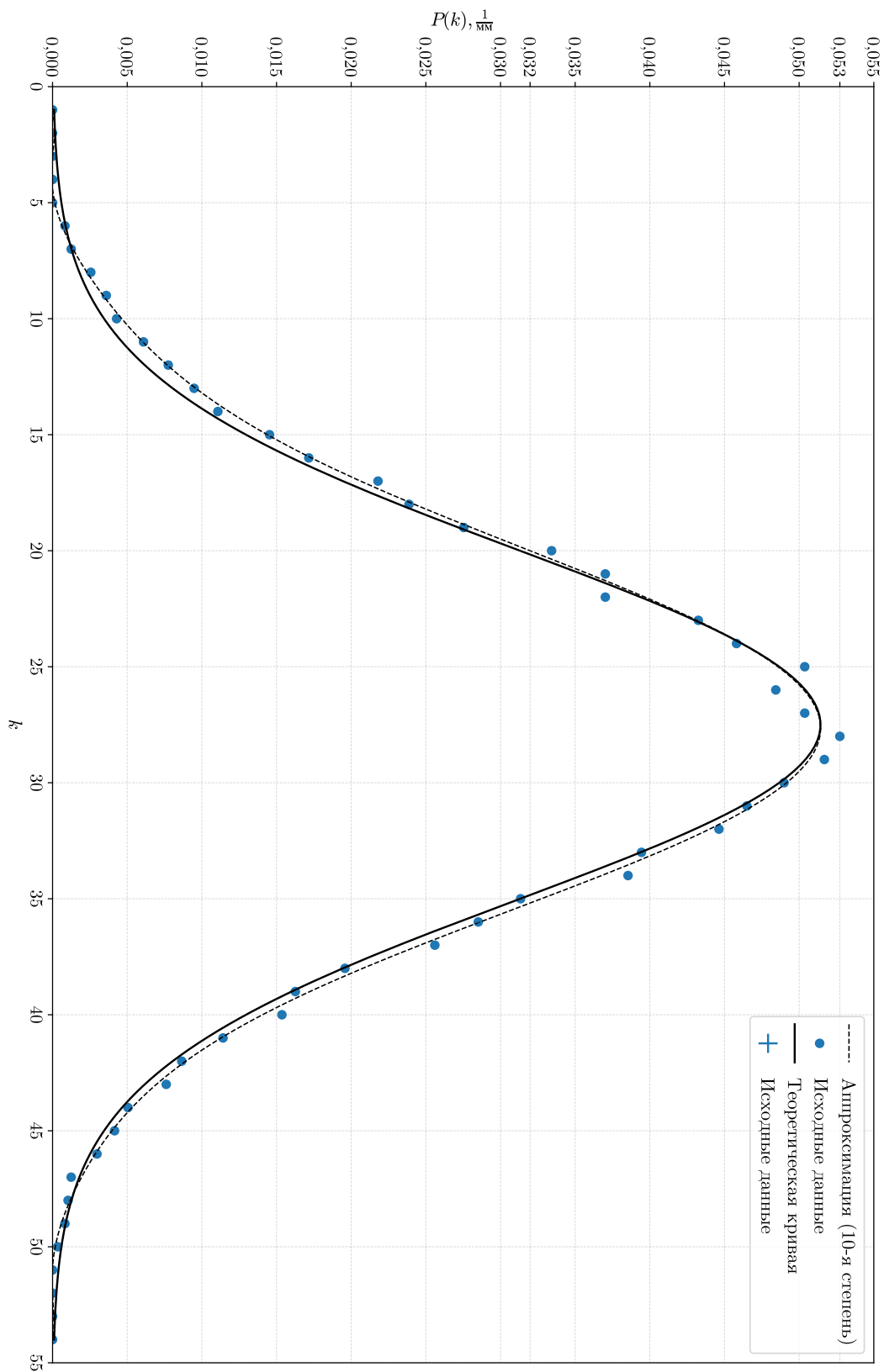


Рис. 1: График для  $N = N_0/2$

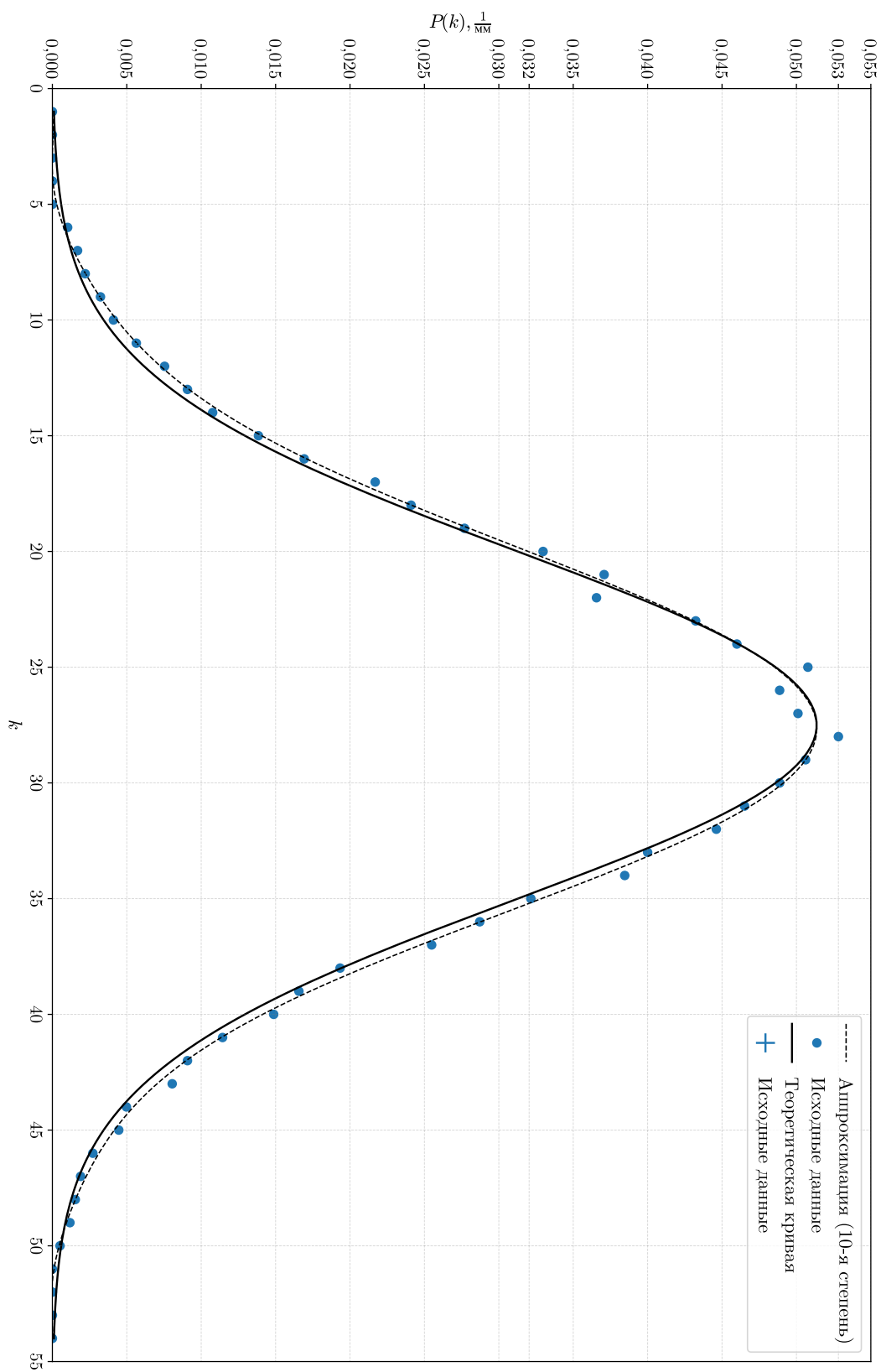


Рис. 2: График для  $N = N_0$

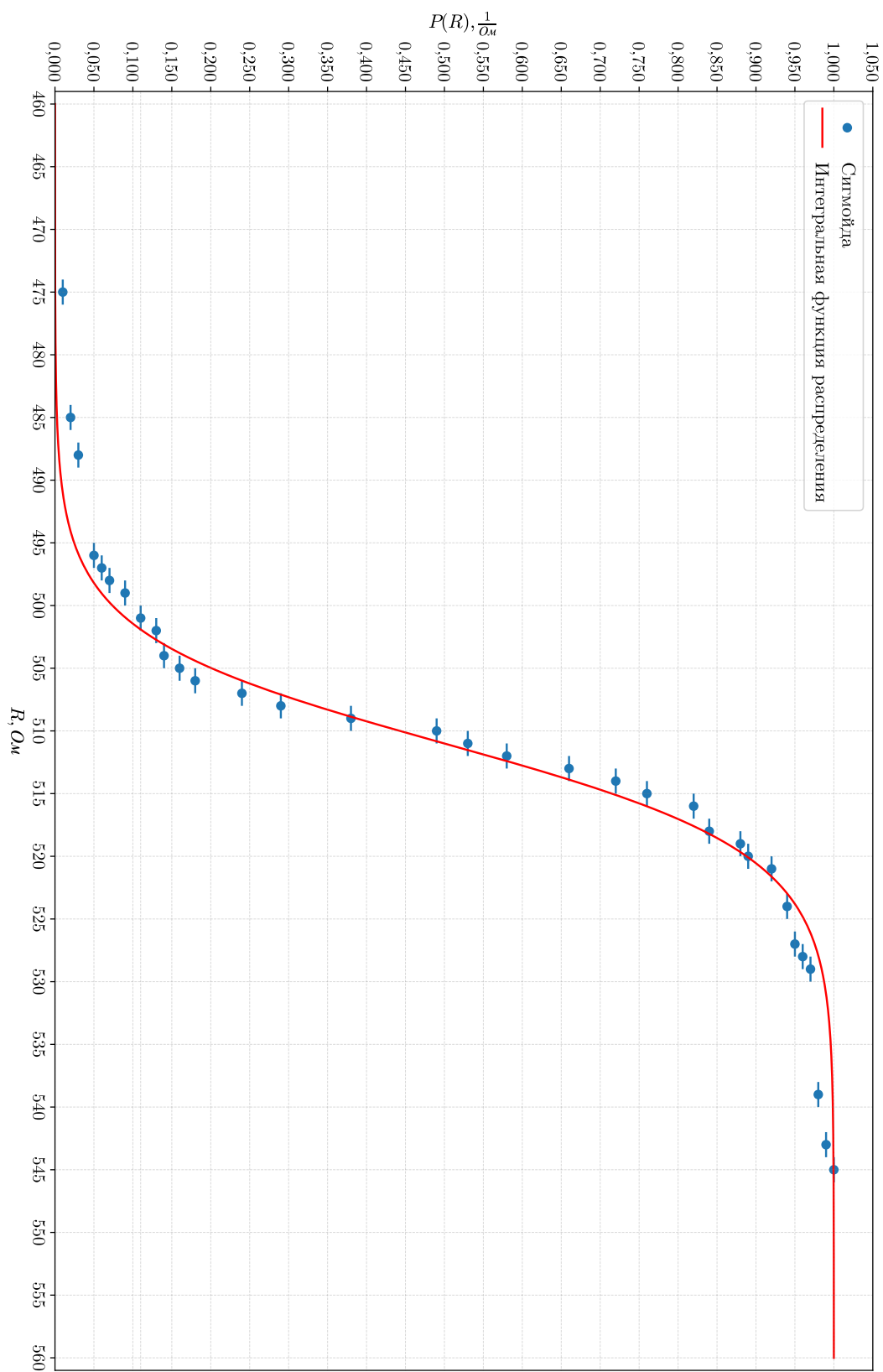


Рис. 3: График для опыта с резисторами  $F(r)$

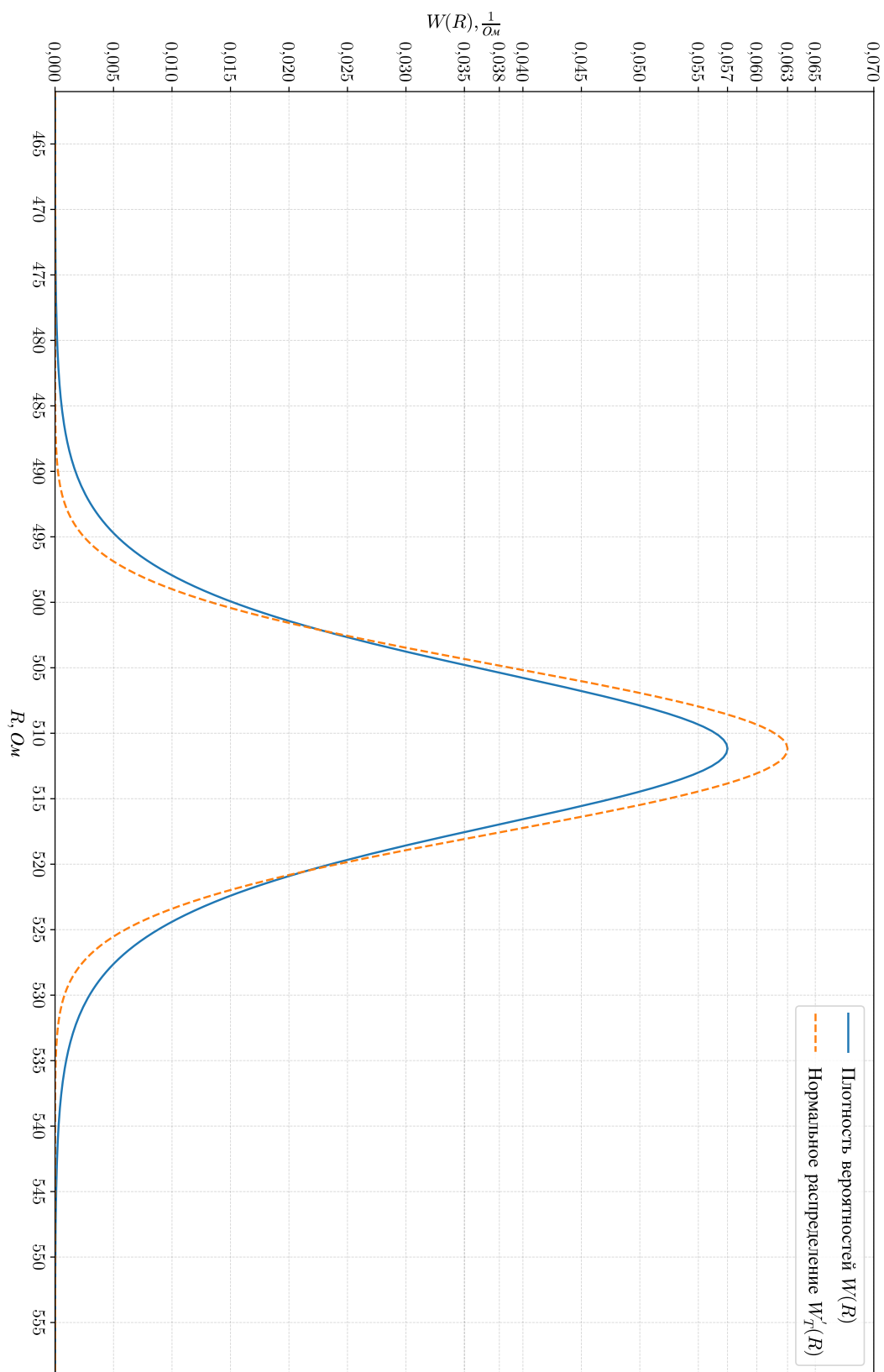


Рис. 4: График для опыта с резисторами (общий вид)